

3 Modelo Matemático com Ângulos seqüenciais - início do movimento

Um corpo no espaço tem seis graus de liberdade, três de translação e três de rotação. Este trabalho se restringe à dinâmica de rotação do corpo, considerando como fixo um sistema referencial que translada com origem no centro de massa do rotor. Limita-se portanto o estudo à rotação ao redor do centro de massa. Para os três graus de liberdade (rotação pura) escolhe-se três coordenadas generalizadas na forma de ângulos seqüenciais.

No Giroscópio de laboratório apresentado no Capítulo 2 e utilizado para a visualização de comportamento, o rotor é suportado por dois anéis (ou quadros) (suspensão cardânica). A partir da base fixa cada anel acrescenta um grau de liberdade ao movimento, e um grau de liberdade provém do próprio rotor, em um total de três graus de liberdade. Embora existam três corpos, a dinâmica deste sistema é descrita com apenas três coordenadas generalizadas.

O problema básico que será estudado neste trabalho consiste em um corpo (rotor), com uma velocidade angular inicial, e quantidade de movimento angular constante alinhadas na mesma direção (eixo z_0), quando é impactado por uma força externa instantânea em direção perpendicular ao eixo z_0 (impacto que ocorre sobre um dos quadros cardânicos). O impacto gera uma mudança instantânea na direção da quantidade de movimento angular, iniciando um movimento cônico do eixo de simetria (e_s) em torno do eixo da quantidade de movimento angular.

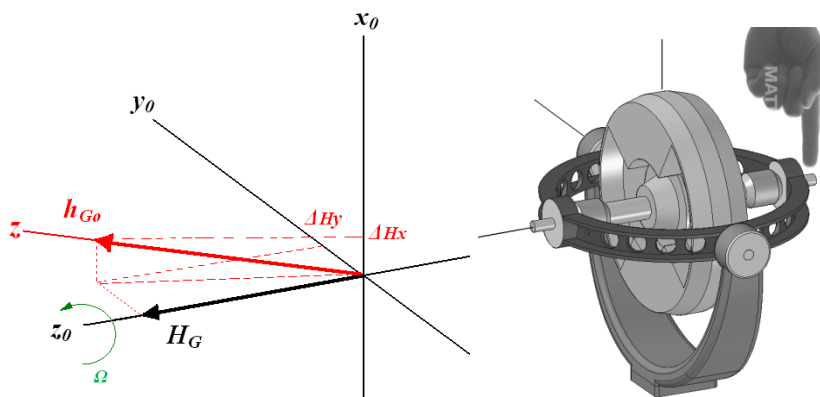


Figura 3.1: Quantidade de movimento angular durante o impacto.

Para entender o processo de impacto, dois sistemas referenciais são considerados: o primeiro (R) com eixos (x_0, y_0, z_0) , onde z_0 está alinhado com o eixo de simetria do rotor (e_s), e o segundo (F) com eixos (x, y, z) onde a quantidade de movimento angular (depois do impacto) tem a direção z . Antes do impacto a quantidade de movimento angular escrita no SR (R) é:

$${}^R \mathbf{H}_G = \begin{bmatrix} 0 \\ 0 \\ H_G \end{bmatrix}$$

Depois do impacto a quantidade de movimento angular muda de posição e agora é mais fácil escrevê-la no SR (F):

$${}^F \mathbf{h}_{G_0} = \begin{bmatrix} 0 \\ 0 \\ h_{G_0} \end{bmatrix}$$

R e F são os sistemas referenciais apresentados na Eq. (1.3) e Eq. (2.1).

O corpo (rotor) possui simetria porém não é axissimétrico. Considerando um SR (S) fixo ao corpo resulta uma matriz de inércia diagonal, visto que os produtos de inércia são todos nulos. Os momentos principais de inércia serão designados por I_1, I_2, I_3 . Usando a matriz de transformação de coordenadas, Eq. (1.4), obtém-se a matriz de inércia no SR (R).

$${}^R \mathbf{I}_G = {}^R \mathbf{T}^S {}^S \mathbf{I}_G {}^S \mathbf{T}^R = I_3 \begin{bmatrix} A & B & 0 \\ B & C & 0 \\ 0 & 0 & 1 \end{bmatrix} \quad (3.1)$$

Onde:

$$A = \mu_1 \cos^2 \gamma + \mu_2 \sin^2 \gamma \quad (3.2)$$

$$B = (\mu_1 - \mu_2) \cos \gamma \sin \gamma \quad (3.3)$$

$$C = \mu_1 \sin^2 \gamma + \mu_2 \cos^2 \gamma \quad (3.4)$$

$$\mu_1 = I_1/I_3 \quad \mu_2 = I_2/I_3 \quad (3.5)$$

Pela equação de Euler $\mathbf{M} = d\mathbf{H}/dt$, considerando um impacto de duração muito pequena pode-se escrever: $\mathbf{M} \Delta t = \Delta \mathbf{H}$. Com a matriz de inércia e o vetor velocidade angular é possível obter a quantidade de movimento angular do corpo (ou do rotor no Giroscópio) no SR (R). Trabalha-se neste SR porque convenientemente ele foi definido depois do impacto.

$${}^R \boldsymbol{\omega} = \begin{bmatrix} \omega_x \\ \omega_y \\ \omega_z \end{bmatrix} \quad {}^R \mathbf{h}_{G_0} = {}^R \mathbf{I}_G {}^R \boldsymbol{\omega} = \begin{bmatrix} (A \omega_x + B \omega_y) I_3 \\ (B \omega_x + C \omega_y) I_3 \\ \omega_z I_3 \end{bmatrix} \quad (3.6)$$

Se o impacto acontece apenas no eixo x (Figura 3.1), ele produz a seguinte variação da quantidade de movimento angular, da Eq.(3.6):

$$\begin{bmatrix} M_x \Delta t \\ 0 \\ 0 \end{bmatrix} = \begin{bmatrix} \Delta H_x \\ \Delta H_y \\ \Delta H_z \end{bmatrix} = \begin{bmatrix} (A \Delta \omega_x + B \Delta \omega_y) I_3 \\ (B \Delta \omega_x + C \Delta \omega_y) I_3 \\ \Delta \omega_z I_3 \end{bmatrix}$$

Daqui se obtém a variação da velocidade angular:

$$\Delta \omega_x = \frac{C}{\mu_1 \mu_2} \frac{M_x \Delta t}{I_3} \quad \Delta \omega_y = -\frac{B}{\mu_1 \mu_2} \frac{M_x \Delta t}{I_3} \quad \Delta \omega_z = 0 \quad (3.7)$$

Se o impacto acontece apenas no eixo y ele produz a seguinte variação da quantidade de movimento angular, da Eq.(3.6):

$$\begin{bmatrix} 0 \\ M_y \Delta t \\ 0 \end{bmatrix} = \begin{bmatrix} \Delta H_x \\ \Delta H_y \\ \Delta H_z \end{bmatrix} = \begin{bmatrix} (A \Delta \omega_x + B \Delta \omega_y) I_3 \\ (B \Delta \omega_x + C \Delta \omega_y) I_3 \\ \Delta \omega_z I_3 \end{bmatrix}$$

Obtendo-se a variação da velocidade angular:

$$\Delta \omega_x = -\frac{B}{\mu_1 \mu_2} \frac{M_y \Delta t}{I_3} \quad \Delta \omega_y = \frac{A}{\mu_1 \mu_2} \frac{M_y \Delta t}{I_3} \quad \Delta \omega_z = 0 \quad (3.8)$$

Em ambos os casos, impacto em x e y , o valor da quantidade de movimento angular no eixo z não muda porque $\Delta \omega_z = 0$, e a velocidade angular já existente $\omega_z = \Omega$ no eixo z não mudará devido ao impacto. Depois do impacto apenas as componentes da velocidade angular nos eixos x e y variarão e serão: $\omega_x = \Delta \omega_x$ e $\omega_y = \Delta \omega_y$.

3.1. Corpo no Espaço

As equações de movimento são obtidas por métodos diferentes, uma vez aproveitando as integrais de quantidade de movimento e energia no caso em que são constantes, outra vez utilizando a formulação de Lagrange. Neste capítulo valemo-nos dos ângulos cardânicos para descrever o movimento do corpo

seguindo o raciocínio de rotações seqüenciais. A matriz de inércia de um corpo, escrita em seu próprio SR, pode ser apresentada como:

$${}^S \mathbf{I}_G = \begin{bmatrix} I_1 & 0 & 0 \\ 0 & I_2 & 0 \\ 0 & 0 & I_3 \end{bmatrix} \quad (3.9)$$

Usando a matriz de transformação de coordenadas, Eq. (1.4), pode-se levar a matriz de inércia ao SR(R), conforme Eq.(3.1).

A velocidade angular a partir de rotações seqüenciais elementares, usando Eq.(1.2) e Eq.(1.4) é obtida no SR(R) como:

$${}^R \boldsymbol{\omega} = \begin{bmatrix} \dot{\alpha} \cos \beta \\ \dot{\beta} \\ \dot{\alpha} \sin \beta + \dot{\gamma} \end{bmatrix} \quad (3.10)$$

Depois do impacto, o vetor quantidade de movimento angular volta a ficar constante e escrito no SR (F) vale: ${}^F \mathbf{h}_G = [0 \ 0 \ h_G]^T$. A quantidade de movimento angular no SR (F) se calcula a partir da velocidade angular da Eq.(3.10), e da matriz de inércia da Eq.(3.1).

$${}^F \mathbf{h}_G = C t e = {}^F \mathbf{T}^R \quad {}^R \mathbf{h}_G = {}^F \mathbf{T}^Q \quad {}^Q \mathbf{T}^R \quad {}^R \mathbf{I}_G \quad {}^R \boldsymbol{\omega} \quad (3.11)$$

É conveniente trabalhar com equações adimensionais. O processo de normalização das equações começa pela definição da quantidade de movimento angular no instante depois do impacto. Define-se a quantidade de movimento angular do corpo depois do impacto $h_G = I_3 v$. O tempo será mudado de segundos para um valor adimensional $\tau = v t$, onde v representa uma velocidade angular equivalente (instantaneamente depois do impacto) [1]. A representação da derivada em relação ao tempo adimensional τ , é:

$$\dot{\alpha} = v \alpha' \quad \dot{\beta} = v \beta' \quad \dot{\gamma} = v \gamma' \quad (3.12)$$

Resolvendo a Eq.(3.11), aplicando o procedimento de normalização usando as derivadas da Eq.(3.12), e utilizando o raciocínio do problema inverso do item 1.3.5 no Capítulo 1, obtém-se o sistema de equações de movimento.

$$\begin{bmatrix} \gamma' \\ \alpha' \\ \beta' \end{bmatrix} = \frac{1}{\mu_1 \mu_2 \cos \beta} \begin{bmatrix} \mu_1 \mu_2 \cos \beta & -C \sin \beta & B \sin \beta \\ 0 & C & -B \\ 0 & -B \cos \beta & A \cos \beta \end{bmatrix} \begin{bmatrix} \cos \alpha \cos \beta \\ -\cos \alpha \sin \beta \\ \sin \alpha \end{bmatrix} \quad (3.13)$$

A energia cinética se calcula utilizando a velocidade angular da Eq.(3.10) e a quantidade de movimento angular inicial depois do impacto: ${}^F \mathbf{h}_G = [0 \quad 0 \quad h_G]^T$, este valor é constante durante o movimento.

$$2 E_C = \boldsymbol{\omega}^T \mathbf{h}_G = {}^R \boldsymbol{\omega}^T {}^R \mathbf{I}^F {}^F \mathbf{h}_G \quad (3.14)$$

A energia cinética na sua forma adimensional é definida como:

$$EE = 2E_C / h_G v \quad EE = \beta' \sin \alpha + \gamma' \cos \alpha \cos \beta \quad (3.15)$$

As equações de movimento obtidas para descrever a dinâmica do corpo no espaço por este caminho são de primeira ordem, sendo portanto necessárias apenas condições iniciais de posição (ângulo inicial) [1]. A energia cinética também pode ser representada apenas com os ângulos, substituindo na Eq.(3.15) as velocidades da Eq.(3.13), resultando:

$$EE = (\cos \alpha \cos \beta)^2 + \frac{1}{\mu_1 \mu_2} \left[\mu_1 (\cos \gamma \sin \alpha + \sin \gamma \cos \alpha \sin \beta)^2 + \mu_2 (\sin \gamma \sin \alpha - \cos \gamma \cos \alpha \sin \beta)^2 \right] \quad (3.16)$$

As equações de Lagrange nos permitem chegar às equações de movimento por outro caminho: inicia-se a análise pela energia cinética, a Lagrangeana no caso é composta apenas pela energia cinética de rotação. A energia cinética de um corpo, escrito no seu próprio SR (S), é calculada seguindo o raciocínio das rotações elementares (item 1.3.2 do Capítulo 1).

$${}^S \boldsymbol{\omega} = \begin{bmatrix} \dot{\alpha} \cos \beta \cos \gamma + \dot{\beta} \sin \gamma \\ -\dot{\alpha} \cos \beta \sin \gamma + \dot{\beta} \cos \gamma \\ \dot{\alpha} \sin \beta + \dot{\gamma} \end{bmatrix} \quad (3.17)$$

Com esta velocidade angular e a matriz de inércia da Eq.(3.9) se obtém a energia cinética escrita no SR (S):

$$E_C = \frac{1}{2} {}^S \boldsymbol{\omega}^T {}^S \mathbf{I}_G {}^S \boldsymbol{\omega} \quad E_C = \frac{1}{2} \left(I_1 (\dot{\alpha} \cos \beta \cos \gamma + \dot{\beta} \sin \gamma)^2 + I_2 (-\dot{\alpha} \cos \beta \sin \gamma + \dot{\beta} \cos \gamma)^2 + I_3 (\dot{\alpha} \sin \beta + \dot{\gamma})^2 \right) \quad (3.18)$$

No sistema conservativo as equações de Lagrange se aplicam facilmente:

$$\frac{d}{dt} \left(\frac{\partial E_C}{\partial \dot{\alpha}} \right) - \frac{\partial E_C}{\partial \alpha} = 0 \quad \frac{d}{dt} \left(\frac{\partial E_C}{\partial \dot{\beta}} \right) - \frac{\partial E_C}{\partial \beta} = 0 \quad \frac{d}{dt} \left(\frac{\partial E_C}{\partial \dot{\gamma}} \right) - \frac{\partial E_C}{\partial \gamma} = 0$$

Os resultados das equações anteriores nos fornecem equações de movimento de segunda ordem do corpo. Aqui também se trabalha com equações adimensionais, usando o mesmo procedimento de normalização anterior, e a

mesma hipótese anterior: $h_G = I_3 \nu$ e $\tau = \nu t$, obtendo-se acelerações angulares $\ddot{\alpha} = \nu^2 \alpha''$ $\ddot{\beta} = \nu^2 \beta''$ $\ddot{\gamma} = \nu^2 \gamma''$.

Normalizando, simplificando e arranjando as equações obtidas por Lagrange, temos:

$$\alpha'' = \frac{1}{\mu_1 \mu_2 \cos \beta} \left\{ (\mu_1 + \mu_2 - 1) B \cos \beta \gamma' \alpha' + (\mu_1 + \mu_2 - 1) C \sin \beta \alpha' \beta' \right. \\ \left. + (C(\mu_1 + \mu_2 - 1) - 2 \mu_1 \mu_2) \gamma' \beta' + (\mu_1 + \mu_2 - 1) B \cos \beta \sin \beta (\alpha')^2 \right\} \quad (3.19)$$

$$\beta'' = \frac{1}{\mu_1 \mu_2} \left\{ (\mu_1 + \mu_2 - 1) B \gamma' \beta' + (A(\mu_1 + \mu_2 - 1) - \mu_1 \mu_2) \cos \beta \sin \beta (\alpha')^2 \right. \\ \left. + (\mu_1 + \mu_2 - 1) B \sin \beta \alpha' \beta' + (A(\mu_1 + \mu_2 - 1) - 2 \mu_1 \mu_2) \cos \beta \gamma' \alpha' \right\} \quad (3.20)$$

$$\gamma'' = \frac{1}{\mu_1 \mu_2 \cos \beta} \left\{ (-\mu_1 \mu_2) B \cos \beta (\beta')^2 + (\mu_1 + \mu_2 - 1) B \sin \beta \cos \beta \gamma' \alpha' \right. \\ \left. + ((\mu_1 + \mu_2 - 1) \sin^2 \beta + \mu_1 \mu_2 \cos^2 \beta) B \cos \beta (\alpha')^2 \right. \\ \left. + (C(\mu_1 + \mu_2 - 1) \sin^2 \beta + (1 - D) \mu_1 \mu_2 \cos^2 \beta) \alpha' \beta' \right. \\ \left. + (C(\mu_1 + \mu_2 - 1) - 2 \mu_1 \mu_2) \sin \beta \gamma' \beta' \right\} \quad (3.21)$$

Onde os parâmetros μ_1 e μ_2 são os valores de momentos de inércia normalizados descritos na Eq.(3.5). Também os parâmetros A, B e C foram apresentados antes: Eq.(3.2), Eq.(3.3) e Eq.(3.4). O novo parâmetro D se escreve:

$$D = (\mu_1 - \mu_2) (\cos^2 \gamma - \sin^2 \gamma) \quad (3.22)$$

A energia cinética da Eq.(3.18) pode-se escrever na sua forma adimensional, seguindo o critério de normalização anterior para energia cinética na Eq.(3.15), resulta:

$$EE = \mu_1 (\alpha' \cos \beta \cos \gamma + \beta' \sin \gamma)^2 + \mu_2 (-\alpha' \cos \beta \sin \gamma + \beta' \cos \gamma)^2 + (\alpha' \sin \beta + \gamma')^2 \quad (3.23)$$

As equações Eq.(3.15) e Eq.(3.23), representam o mesmo valor de energia cinética do corpo no espaço, elas têm formas diferentes por que foram escritas em sistemas referenciais diferentes, mas no cálculo numérico resulta o mesmo valor.

3.1.1. Condição inicial do corpo no espaço

Inicialmente as equações de movimento são de primeira ordem, Eq.(3.13), sendo necessárias apenas as condições iniciais de posição: α_0, β_0 e γ_0 .

A Figura 3.1 apresenta um esquema do impacto. Restringimo-nos a duas direções, impacto em y (ΔH_y) e impacto em x (ΔH_x), que podem ser as componentes de um impacto qualquer ortogonal ao eixo de simetria do rotor (e_s). O ângulo γ_0 não depende do impacto, mas em um rotor sem axissimetria sua posição angular na rotação própria influencia na dinâmica do movimento resultante. Este ângulo modifica a direção da configuração inercial do rotor, por exemplo: se $\gamma_0=0^\circ$ a inércia μ_1 teria a direção x e μ_2 a direção y , se $\gamma_0=90^\circ$ a inércia μ_1 teria a direção y e μ_2 a direção x (onde x e y refere-se a vetores em (R)).

As equações de segunda ordem, Eq.(3.19), Eq.(3.20) e Eq.(3.21) são integradas com condições iniciais de posição e velocidade: $\alpha_0, \beta_0, \gamma_0, \alpha'_0, \beta'_0$ e γ'_0 . O resultado deve ser igual ao das equações de primeira ordem, Eq.(3.13), cuja solução se inicia com uma posição inicial mas cujas equações definem as velocidades no instante inicial:

$$\begin{bmatrix} \gamma'_0 \\ \alpha'_0 \\ \beta'_0 \end{bmatrix} = \frac{1}{\mu_1 \mu_2 \cos \beta_0} \begin{bmatrix} \mu_1 \mu_2 \cos \beta_0 & -C_0 \sin \beta_0 & B_0 \sin \beta_0 \\ 0 & C_0 & -B_0 \\ 0 & -B_0 \cos \beta_0 & A_0 \cos \beta_0 \end{bmatrix} \begin{bmatrix} \cos \alpha_0 \cos \beta_0 \\ -\cos \alpha_0 \sin \beta_0 \\ \sin \alpha_0 \end{bmatrix} \quad (3.24)$$

Na comparação dos dois sistemas deve haver igualdade de energia cinética e de quantidade de movimento angular. Analisam-se agora soluções para dois casos em particular, impactos na direção do eixo x ou y em forma isolada.

Primeiro Caso. Se o impacto acontece no eixo y (ΔH_y), os ângulos que descrevem a posição inicial são: $\alpha_0 \neq 0, \beta_0 = 0$ e γ_0 qualquer. Os valores das velocidades angulares iniciais são:

$$\begin{bmatrix} \gamma'_0 \\ \alpha'_0 \\ \beta'_0 \end{bmatrix} = \frac{1}{\mu_1 \mu_2} \begin{bmatrix} \mu_1 \mu_2 & 0 & 0 \\ 0 & C_0 & -B_0 \\ 0 & -B_0 & A_0 \end{bmatrix} \begin{bmatrix} \cos \alpha_0 \\ 0 \\ \sin \alpha_0 \end{bmatrix} \quad (3.25)$$

A energia inicial que será constante durante o movimento, nas duas formas apresentadas nas Eq.(3.15) e Eq.(3.23), é respectivamente:

$$EE_0 = \beta'_0 \sin \alpha_0 + \gamma'_0 \cos \alpha_0 = 1 + \left(\frac{A_0}{\mu_1 \mu_2} - 1 \right) \sin^2 \alpha_0 \quad (3.26)$$

$$EE_0 = \mu_1 (\alpha'_0 \cos \gamma_0 + \beta'_0 \sin \gamma_0)^2 + \mu_2 (-\alpha'_0 \sin \gamma_0 + \beta'_0 \cos \gamma_0)^2 + (\gamma'_0)^2 \quad (3.27)$$

Até agora a posição do ângulo γ_0 não tem um valor específico, deste valor depende tanto a energia inicial quanto as velocidades iniciais. Experimentalmente inclusive seria um desafio sincronizar um impacto com uma posição angular definida para o rotor. Para simplificar as equações, convenientemente trabalha-se com $\gamma_0=0$, os parâmetros adimensionais iniciais: $A_0=\mu_1$, $B_0=0$ e $C_0=\mu_2$. Então, as condições iniciais recalculadas com $\alpha_0 \neq 0$, $\beta_0=0$ e $\gamma_0=0$ serão:

$$\begin{bmatrix} \gamma'_0 \\ \alpha'_0 \\ \beta'_0 \end{bmatrix} = \frac{1}{\mu_1 \mu_2} \begin{bmatrix} \mu_1 \mu_2 & 0 & 0 \\ 0 & \mu_1 & 0 \\ 0 & 0 & \mu_2 \end{bmatrix} \begin{bmatrix} \cos \alpha_0 \\ 0 \\ \sin \alpha_0 \end{bmatrix} \quad (3.28)$$

$$EE_0 = 1 + \left(\frac{1}{\mu_2} - 1 \right) \sin^2 \alpha_0 \quad (3.29)$$

A energia é obtida através da Eq.(3.27):

$$\begin{aligned} EE_0 &= \mu_1 (\alpha'_0)^2 + \mu_2 (\beta'_0)^2 + (\gamma'_0)^2 = \mu_1 (0)^2 + \mu_2 \left(\frac{\sin \alpha_0}{\mu_2} \right)^2 + (\cos \alpha_0)^2 = \\ &= \frac{1}{\mu_2} \sin^2 \alpha_0 + \cos^2 \alpha_0 = 1 + \left(\frac{1}{\mu_2} - 1 \right) \sin^2 \alpha_0 \end{aligned} \quad (3.30)$$

A energia adimensionalizada aumenta com a intensidade do impacto se $\mu_2 < 1$. A velocidade $\gamma'_0 = \cos \alpha_0$ é definida após impacto, e pode ser utilizada como um indicador da intensidade do mesmo. Para $\beta_0=0$ a velocidade angular $\gamma'_0 = \cos \alpha_0 = \omega_z$ vai servir como um parâmetro de controle do comportamento do sistema na terminologia da dinâmica não linear. Seguindo o raciocínio da Eq.(3.8), ela toma um valor normalizado diferente em cada intensidade de impacto.

Utilizando de rotações seqüenciais (item 1.3.2 do Capítulo 1) é fácil obter a velocidade angular inicial no SR(R), Eq.(3.10). Lembrando que ω_z não muda de valor ($\Delta \omega_z = 0$) durante o impacto, e as velocidades ω_x e ω_y eram nulas antes do impacto, então depois do impacto: $\Delta \omega_x = \omega_x$ e $\Delta \omega_y = \omega_y$.

$${}^R \omega_0 = \begin{bmatrix} \alpha'_0 \cos(\beta_0) \\ \beta'_0 \\ \alpha'_0 \sin(\beta_0) + \gamma'_0 \end{bmatrix} = \begin{bmatrix} \omega_x \\ \omega_y \\ \omega_z \end{bmatrix} \quad (3.31)$$

Substituindo estas variações de velocidade na Eq.(3.8), temos:

$$\Delta \omega_x = -\frac{B_0}{\mu_1 \mu_2} \frac{M_y \Delta t}{I_3} = \alpha'_0 \cos(\beta_0) \quad \Delta \omega_y = \frac{A_0}{\mu_1 \mu_2} \frac{M_y \Delta t}{I_3} = \beta'_0 \quad (3.32)$$

Substituindo as velocidades iniciais da Eq.(3.25) na equação anterior, para um valor de γ_0 qualquer, relaciona-se o ângulo inicial e a magnitude de impacto do momento impulsivo:

$$\frac{M_y \Delta t}{I_3} = \sin \alpha_0 \quad (3.33)$$

Este resultado mostra que um valor de impacto na direção positiva do eixo y gera um ângulo positivo α_0 .

Segundo Caso. Se o impacto acontece no eixo x (ΔH_x), os ângulos que descrevem a posição inicial são: $\alpha_0=0$, $\beta_0 \neq 0$ e γ_0 qualquer. As velocidades angulares iniciais neste caso são:

$$\begin{bmatrix} \gamma'_0 \\ \alpha'_0 \\ \beta'_0 \end{bmatrix} = \frac{1}{\mu_1 \mu_2 \cos \beta_0} \begin{bmatrix} \mu_1 \mu_2 \cos \beta_0 & -C_0 \sin \beta_0 & B_0 \sin \beta_0 \\ 0 & C_0 & -B_0 \\ 0 & -B_0 \cos \beta_0 & A_0 \cos \beta_0 \end{bmatrix} \begin{bmatrix} \cos \beta_0 \\ -\sin \beta_0 \\ 0 \end{bmatrix} \quad (3.34)$$

A energia cinética inicial normalizada para este caso, na forma da Eq.(3.15):

$$EE_0 = \gamma'_0 \cos \beta_0 = 1 + \left(\frac{C_0}{\mu_1 \mu_2} - 1 \right) \sin^2 \beta_0 \quad (3.35)$$

Para simplificar as equações trabalha-se com $\gamma_0=0$, os parâmetros adimensionais iniciais: $A_0=\mu_1$, $B_0=0$ e $C_0=\mu_2$. Então, as condições iniciais recalculadas com $\alpha_0=0$, $\beta_0 \neq 0$ e $\gamma_0=0$ serão:

$$\begin{bmatrix} \gamma'_0 \\ \alpha'_0 \\ \beta'_0 \end{bmatrix} = \frac{1}{\mu_1 \mu_2 \cos \beta_0} \begin{bmatrix} \mu_1 \mu_2 \cos \beta_0 & -\mu_2 \sin \beta_0 & 0 \\ 0 & \mu_2 & 0 \\ 0 & 0 & \mu_1 \cos \beta_0 \end{bmatrix} \begin{bmatrix} \cos \beta_0 \\ -\sin \beta_0 \\ 0 \end{bmatrix} \quad (3.36)$$

A energia inicial:

$$EE_0 = 1 + \left(\frac{1}{\mu_1} - 1 \right) \sin^2 \beta_0 \quad (3.37)$$

A energia cinética do corpo representada pela Eq.(3.23) tem a mesma forma da Eq.(3.37) quando for simplificada depois substituir nela as condições iniciais do caso.

Com o mesmo raciocínio do processo de impacto ($\Delta \omega_x = \omega_x$ e $\Delta \omega_y = \omega_y$), explicado no caso anterior. Substituindo estas variações de velocidade na Eq.(3.7), temos:

$$\Delta \omega_x = \frac{C_0}{\mu_1 \mu_2} \frac{M_x \Delta t}{I_3} = \alpha'_0 \cos(\beta_0) \quad \Delta \omega_y = -\frac{B_0}{\mu_1 \mu_2} \frac{M_x \Delta t}{I_3} = \beta'_0 \quad (3.38)$$

Substituindo as velocidades iniciais da Eq.(3.36) na equação anterior, para um valor de γ_0 qualquer, relaciona-se o ângulo inicial e a magnitude de impacto do momento impulsivo:

$$\frac{M_x \Delta t}{I_3} = -\sin \beta_0 \quad (3.39)$$

Este resultado mostra que para um valor de impacto na direção positiva do eixo x gera um ângulo negativo β_0 .

3.2. Sistema conservativo

Se negligenciarmos qualquer tipo de atrito no Giroscópio, porém considerarmos a inércia dos seus quadros, teremos um sistema conservativo de três corpos e três graus de liberdade. Os corpos que compõem o sistema estão representados na Figura 2.2. As equações de movimento serão obtidas pelas equações de Lagrange, mantendo as coordenadas generalizadas usadas em rotações seqüenciais. A energia cinética total do sistema é a soma das energias cinéticas de cada corpo. Por ser a energia cinética um escalar seu valor é calculado em qualquer SR, mas a representação das equações pode mudar segundo o SR. Convenientemente calcula-se a energia de cada corpo no seu próprio SR. Não há variação de energia potencial.

O cálculo da energia cinética do quadro externo se faz no SR(Q), neste SR a matriz de inércia é constante no tempo, os produtos de inércia são nulos pela simetria.

$${}^Q \mathbf{I}_{QExt} = \begin{bmatrix} I_x & 0 & 0 \\ 0 & I_y & 0 \\ 0 & 0 & I_z \end{bmatrix} \quad (3.40)$$

O quadro externo apenas tem um grau de liberdade, a sua velocidade angular é:

$${}^Q \boldsymbol{\omega}_{QExt} = \begin{bmatrix} \dot{\alpha} \\ 0 \\ 0 \end{bmatrix} \quad (3.41)$$

A energia cinética do quadro externo é:

$$E_{C_{QExt}} = \frac{1}{2} \dot{\alpha}^2 I_x \quad (3.42)$$

O cálculo da energia cinética do quadro interno se faz no SR (R), este corpo tem geometria muito parecida à de um anel delgado (Fig. 2.2), pela simetria os produtos de inércia são nulos.

$${}^R \mathbf{I}_{QInt} = \begin{bmatrix} I_{Rx} & 0 & 0 \\ 0 & I_{Ry} & 0 \\ 0 & 0 & I_{Rz} \end{bmatrix} \quad (3.43)$$

O quadro interno tem dois graus de liberdade, calcula-se sua velocidade angular mediante as duas primeiras rotações seqüenciais.

$${}^R \boldsymbol{\omega}_{QInt} = \begin{bmatrix} \dot{\alpha} \cos \beta \\ \dot{\beta} \\ \dot{\alpha} \sin \beta \end{bmatrix} \quad (3.44)$$

A energia cinética do quadro interno é:

$$E_{C_{QInt}} = \frac{1}{2} \dot{\alpha}^2 \cos^2 \beta I_{Rx} + \frac{1}{2} \dot{\beta}^2 I_{Ry} + \frac{1}{2} \dot{\alpha}^2 \sin^2 \beta I_{Rz} \quad (3.45)$$

O rotor tem três graus de liberdade, e a energia cinética do rotor no SR (S) está representada por Eq.(3.18). A energia cinética total do sistema é:

$$E_{C_{Sist}} = \frac{1}{2} \dot{\alpha}^2 I_x + \frac{1}{2} \dot{\alpha}^2 \cos^2 \beta I_{Rx} + \frac{1}{2} \dot{\beta}^2 I_{Ry} + \frac{1}{2} \dot{\alpha}^2 \sin^2 \beta I_{Rz} \\ + \frac{1}{2} \left(I_1 (\dot{\alpha} \cos \beta \cos \gamma + \dot{\beta} \sin \gamma)^2 + I_2 (-\dot{\alpha} \cos \beta \sin \gamma + \dot{\beta} \cos \gamma)^2 + I_3 (\dot{\alpha} \sin \beta + \dot{\gamma})^2 \right) \quad (3.46)$$

Aplica-se a equação de Lagrange à energia cinética do sistema, para cada ângulo, da seguinte forma:

$$\frac{d}{dt} \left(\frac{\partial E_{C_{Sist}}}{\partial \dot{\alpha}} \right) - \frac{\partial E_{C_{Sist}}}{\partial \alpha} = 0 \quad \frac{d}{dt} \left(\frac{\partial E_{C_{Sist}}}{\partial \dot{\beta}} \right) - \frac{\partial E_{C_{Sist}}}{\partial \beta} = 0 \quad \frac{d}{dt} \left(\frac{\partial E_{C_{Sist}}}{\partial \dot{\gamma}} \right) - \frac{\partial E_{C_{Sist}}}{\partial \gamma} = 0$$

As equações de movimento do sistema são normalizadas pelo mesmo processo anterior, Eq.(3.12), para trabalhar em forma adimensional. Para simplificar as equações o quadro interno tem a distribuição inercial de um anel delgado, $I_{Rx}=I_p$ e $I_{Ry}=I_{Rz}=I_d$. Depois de arranjar e simplificar as equações de movimento temos:

$$\alpha'' = \frac{1}{(A\mu_d + \mu_1 \mu_2) \cos^2 \beta + (\mu_x + \mu_d \sin^2 \beta + \mu_p \cos^2 \beta)(C + \mu_d)} \left\{ (\mu_1 \right. \\ \left. + \mu_2 + 2\mu_d - 1) B \cos^2 \beta \gamma' \alpha' + (\mu_1 + \mu_2 + \mu_p - 1) B \cos^2 \beta \sin \beta (\alpha')^2 \right. \\ \left. + (C + \mu_d) (\mu_1 + \mu_2 + 2\mu_p - 2\mu_d - 1) \cos \beta \sin \beta \alpha' \beta' \right. \\ \left. + ((\mu_1 + \mu_2 - 1)C - 2\mu_1 \mu_2 - (d+1)\mu_d) \cos \beta \gamma' \beta' \right\} \quad (3.47)$$

$$\begin{aligned}
\beta'' = & \frac{1}{(A\mu_d + \mu_1 \mu_2) \cos^2 \beta + (\mu_x + \mu_d \sin^2 \beta + \mu_p \cos^2 \beta)(C + \mu_d)} \left\{ (\mu_1 \right. \\
& + \mu_2 + 2\mu_p - 2\mu_d - 1) B \sin \beta \cos^2 \beta \alpha' \beta' + \left((A(\mu_1 + \mu_2 - 1) \right. \\
& - 2\mu_1 \mu_2) \cos^2 \beta + (\mu_x + \mu_d \sin^2 \beta + \mu_p \cos^2 \beta)(D - 1) \left. \right) \cos \beta \gamma' \alpha' \\
& + \left((A(\mu_1 + \mu_2 + \mu_p - \mu_d - 1) - \mu_1 \mu_2) \cos^2 \beta + (A + \mu_p - \mu_d - 1)(\mu_x \right. \\
& + \mu_p \cos^2 \beta + \mu_d \sin^2 \beta) \left. \right) \cos \beta \sin \beta (\alpha')^2 + ((\mu_1 + \mu_2 - 1) \cos^2 \beta + 2\mu_x \\
& + \mu_d \sin^2 \beta + \mu_p \cos^2 \beta) B \gamma' \beta' \left. \right\} \quad (3.48)
\end{aligned}$$

$$\begin{aligned}
\gamma'' = & \frac{1}{(A\mu_d + \mu_1 \mu_2) \cos^2 \beta + (\mu_x + \mu_d \sin^2 \beta + \mu_p \cos^2 \beta)(C + \mu_d)} \left\{ ((\mu_d \right. \\
& + C)(-\mu_x - \mu_d \sin^2 \beta - \mu_p \cos^2 \beta) + (-\mu_1 \mu_2 - A\mu_p) \cos^2 \beta) B (\beta')^2 \\
& + ((C + \mu_d)(\mu_1 + \mu_2 + 2\mu_p - 2\mu_d - 1) \sin^2 \beta + (A\mu_d + \mu_1 \mu_2)(1 - D) \cos^2 \beta \\
& + (\mu_x + \mu_d \sin^2 \beta + \mu_p \cos^2 \beta)(1 - D)(C + \mu_d)) \cos \beta \alpha' \beta' \\
& + ((A\mu_d + \mu_1 \mu_2) \cos^2 \beta + (\mu_1 + \mu_2 + \mu_p - 1) \sin^2 \beta + (\mu_d \sin^2 \beta + \mu_p \cos^2 \beta \\
& + \mu_x)(C + \mu_d)) B \cos^2 \beta (\alpha')^2 + (\mu_1 + \mu_2 + 2\mu_d - 1) B \sin \beta \cos^2 \beta \gamma' \alpha' \\
& + ((\mu_1 + \mu_2 - 1)C - 2\mu_1 \mu_2 - (D + 1)\mu_d) \sin \beta \cos \beta \gamma' \beta' \left. \right\} \quad (3.49)
\end{aligned}$$

Onde os parâmetros A, B, C e D foram apresentados anteriormente, Eq.(3.2), Eq.(3.3), Eq.(3.4) e Eq.(3.22). Os momentos de inércia μ_1 e μ_2 do rotor foram apresentados na Eq.(3.5). O valor μ_x é o momento de inércia normalizado do quadro externo no eixo x (Eq.(3.40)), os valores μ_p e μ_d são os momentos de inércia do quadro interno, Eq.(3.43), e são definidos da seguinte forma:

$$\mu_x = I_x / I_3 \quad \mu_p = I_{Rx} / I_3 \quad \mu_d = I_{Ry} / I_3 = I_{Rz} / I_3 \quad (3.50)$$

A equação adimensional da energia cinética, seguindo o mesmo raciocínio da Eq.(3.15), é:

$$\begin{aligned}
EE_{Sist} = & \alpha'^2 \mu_x + \alpha'^2 \cos^2 \beta \mu_p + \beta'^2 \mu_d + \alpha'^2 \sin^2 \beta \mu_d + \mu_1 (\alpha' \cos \beta \cos \gamma + \beta' \sin \gamma)^2 \\
& + \mu_2 (-\alpha' \cos \beta \sin \gamma + \beta' \cos \gamma)^2 + (\alpha' \sin \beta + \gamma')^2 \quad (3.51)
\end{aligned}$$

A quantidade de movimento angular também fundamental para entender o processo de impacto, é a soma das quantidades de movimentos angulares de cada corpo do sistema. Convenientemente calculamos a quantidade de movimento

angular no SR(R), isto diminui a complexidade do cálculo numérico. A quantidade de movimento angular do rotor se calcula com a velocidade angular da Eq.(3.10) e a matriz de inércia da Eq.(3.1).

$${}^R \mathbf{H}_{Rot} = I_3 \begin{bmatrix} A \dot{\alpha} \cos \beta + B \dot{\beta} \\ B \dot{\alpha} \cos \beta + C \dot{\beta} \\ \dot{\alpha} \sin \beta + \dot{\gamma} \end{bmatrix} \quad (3.52)$$

A quantidade de movimento angular do quadro interno se calcula com a velocidade angular da Eq.(3.44) e a matriz inércia da Eq.(3.44).

$${}^R \mathbf{H}_{QInt} = \begin{bmatrix} I_{Rx} \dot{\alpha} \cos \beta \\ I_{Ry} \dot{\beta} \\ I_{Rz} \dot{\alpha} \sin \beta \end{bmatrix} \quad (3.53)$$

A velocidade angular da Eq.(3.41) e a matriz de inércia da Eq.(3.40) nos fornecem a quantidade de movimento angular do quadro externo no SR(Q), o passo seguinte é levá-lo ao sistema referencial (R) mediante a matriz transformação de coordenadas da Eq.(1.4).

$${}^R \mathbf{H}_{QExt} = \begin{bmatrix} I_x \dot{\alpha} \cos \beta \\ 0 \\ I_x \dot{\alpha} \sin \beta \end{bmatrix} \quad (3.54)$$

Finalmente, a quantidade de movimento angular do sistema resulta da soma dos vetores das Eq.(3.52), Eq.(3.53) e Eq.(3.54).

$${}^R \mathbf{H}_{Sist} = \begin{bmatrix} I_3 (A \dot{\alpha} \cos \beta + B \dot{\beta}) + I_{Rx} \dot{\alpha} \cos \beta + I_x \dot{\alpha} \cos \beta \\ I_3 (B \dot{\alpha} \cos \beta + C \dot{\beta}) + I_{Ry} \dot{\beta} \\ I_3 (\dot{\alpha} \sin \beta + \dot{\gamma}) + I_{Rz} \dot{\alpha} \sin \beta + I_x \dot{\alpha} \sin \beta \end{bmatrix} \quad (3.55)$$

A equação anterior é normalizada pelo mesmo processo antes apresentado na Eq.(3.12), e os valores dos momentos de inércia adimensionais das Eq.(3.5) e Eq.(3.50). A quantidade de movimento angular do sistema na forma normalizada:

$${}^R \mathbf{H}_{0Sist} = \begin{bmatrix} (A + \mu_p + \mu_x) \alpha' \cos \beta + B \beta' \\ (C + \mu_d) \beta' + B \alpha' \cos \beta \\ (1 + \mu_d + \mu_x) \alpha' \sin \beta + \gamma' \end{bmatrix} \quad (3.56)$$

Tendo a quantidade de movimento angular do sistema no SR (R) pode-se representa-la em qualquer outro sistema referencial. A representação no SR(F) é particularmente útil para observar a variação do vetor no espaço acompanhando o movimento.

3.2.1. Condição inicial do sistema conservativo

As equações que descrevem o movimento são de segunda ordem, sendo necessárias portanto condições iniciais de posição e velocidade mas, para elas descreverem o resultado de um impacto deve-se ter em conta os aspectos discutidos no item 3.1.1. Os ângulos iniciais (α_0 , β_0 e γ_0) aparecem da definição dos dois SR imediatamente depois do impacto, e as velocidades iniciais são obtidas da mudança do vetor quantidade de movimento angular.

No instante inicial (depois do impacto) a quantidade de movimento angular é a mesma apresentada na Eq.(3.11), transformando-a ao SR (R), e depois de passando-a pelo processo de normalização resulta na forma adimensional:

$${}^R \mathbf{H}_{0Sist(t=0)} = {}^R \mathbf{T}^Q {}^Q \mathbf{T}^F {}^F \mathbf{h}_G = \begin{bmatrix} -\sin(\beta_0) \cos(\alpha_0) \\ \sin(\alpha_0) \\ \cos(\beta_0) \cos(\alpha_0) \end{bmatrix} \quad (3.57)$$

Igualando as equações Eq.(3.56) e Eq.(3.57) obtêm-se as velocidades angulares iniciais.

$$\alpha'_0 = -\frac{\sin \beta_0 \cos \alpha_0 \mu_d + C_0 \sin \beta_0 \cos \alpha_0 + B_0 \sin \alpha_0}{\left((\mu_x + \mu_p)(\mu_d + C_0) + A_0 \mu_d + \mu_1 \mu_2 \right) \cos \beta_0} \quad (3.58)$$

$$\beta'_0 = \frac{B_0 \sin \beta_0 \cos \alpha_0 + (\mu_x + \mu_p) \sin \alpha_0 + A_0 \sin \alpha_0}{\left((\mu_x + \mu_p)(\mu_d + C_0) + A_0 \mu_d + \mu_1 \mu_2 \right)} \quad (3.59)$$

$$\gamma'_0 = \frac{1}{\left((\mu_x + \mu_p)(\mu_d + C_0) + A_0 \mu_d + \mu_1 \mu_2 \right) \cos \beta_0} \left\{ \left((\mu_x + \mu_p)(\mu_d + C_0) + A_0 \mu_d + \mu_1 \mu_2 \right) \cos^2 \beta_0 \cos \alpha_0 + (\mu_x + \mu_d + 1) \left((\mu_d + C_0) \sin \beta_0 \cos \alpha_0 + B_0 \sin \alpha_0 \right) \sin \beta_0 \right\} \quad (3.60)$$

Com as velocidades iniciais em função dos ângulos iniciais, as condições iniciais possíveis ficam completamente definidas. No caso do corpo no espaço a magnitude do impacto fica completamente definida pelo ângulo inicial, e no caso do sistema vale a mesma conclusão.

Seguindo o raciocínio das condições iniciais do impacto, Eq.(3.6), e usando a quantidade de movimento angular para o sistema conservativo da Eq.(3.56), temos a equação que relaciona a magnitude do impacto com o ângulo inicial. Por exemplo, no impacto em y (ΔH_y), os ângulos que descrevem a posição inicial são: $\alpha_0 \neq 0$, $\beta_0 = 0$ (para um valor de γ_0 qualquer), então:

$$\Delta\omega_x = -\frac{B_0}{\left((\mu_x + \mu_p)(\mu_d + C_0) + A_0 \mu_d + \mu_1 \mu_2\right)} \frac{M_y \Delta t}{I_3} = \alpha'_0 \cos(\beta_0)$$

$$\Delta\omega_y = \frac{(A_0 + \mu_x + \mu_p)}{\left((\mu_x + \mu_p)(\mu_d + C_0) + A_0 \mu_d + \mu_1 \mu_2\right)} \frac{M_y \Delta t}{I_3} = \beta'_0$$

Substituindo as velocidades iniciais da Eq.(3.58) e Eq.(3.59) chega-se a:

$$\frac{M_y \Delta t}{I_3} = \sin \alpha_0$$

Para o impacto no eixo x (ΔH_x) chega-se ao mesmo resultado da Eq.(3.39).

Portanto a magnitude do impacto fica definida pelo ângulo inicial.

3.3. Sistema com atrito

Não considerando o atrito com o meio que envolve o aparelho, a dissipação se limita ao atrito que existe entre os corpos componentes do Giroscópio. Considera-se viscoso este atrito para efeito de representação matemática. Continuando a usar rotações seqüenciais trabalha-se com os quatro SR da Eq.(1.3). Atente-se que o SR (Q) é solidário ao quadro externo, o SR (R) ao quadro interno e o SR (S) ao rotor. Em muitas ocasiões, nas fórmulas, faz-se referencia ao SR em lugar do corpo.

Para explicitar as forças entre os corpos, as equações de movimento serão obtidas pelas leis de Newton e Euler, os três corpos do sistema serão analisados isoladamente (Figura 2.2). Existem momentos ou forças internas de ação e reação nas uniões (mancais) dos corpos que compõem o sistema, estas forças relacionam as equações obtidas na análise de cada corpo, e finalmente, se obtêm as equações de movimento do Giroscópio.

Inicia-se a análise pelo quadro externo, este corpo tem apenas um grau de liberdade e a sua velocidade angular foi apresentada na Eq.(3.41). O quadro externo interage com o sistema fixo (F) pelo mancal que há na sua base (Fig. 2.5). A equação que relaciona uma componente do momento (torque) do quadro interno sobre o quadro externo é:

$$M_{R/Q}^{(x)} - M_{Q/F}^{Atrito} = I_x \ddot{\alpha} \quad (3.61)$$

Onde $M_{\mathcal{Q}/\mathcal{F}}^{(x)}$ é o momento do quadro interno sobre o quadro externo (componente do eixo x comum entre o SR (F) e SR (Q)), $M_{\mathcal{Q}/\mathcal{F}}^{Atrito}$ é o momento resistivo no mancal que fica na base do quadro externo, I_x foi definida na Eq.(3.40). O momento resistivo devido ao atrito viscoso com coeficiente C_{FQ} entre (F) e (Q):

$$M_{\mathcal{Q}/\mathcal{F}}^{Atrito} = C_{FQ} \ddot{\alpha} \quad (3.62)$$

A equação Eq.(3.61) representada no SR(Q), pode ser escrita como:

$$M_{\mathcal{Q}/\mathcal{Q}}^{(x)} = I_x \ddot{\alpha} + C_{FQ} \ddot{\alpha} \quad (3.63)$$

Continua-se a análise pelo quadro interno, a velocidade do quadro interno foi apresentada na Eq.(3.44). O momento (torque) do quadro externo sobre o quadro interno através dos mancais, no SR(R):

$${}^R \mathbf{M}_{\mathcal{Q}/\mathcal{R}} = \begin{bmatrix} M_{\mathcal{Q}/\mathcal{R}}^{(x'')} \\ -C_{QR} \dot{\beta} \\ M_{\mathcal{Q}/\mathcal{R}}^{(z'')} \end{bmatrix} \quad (3.64)$$

De forma equivalente o momento no quadro externo devido ao quadro interno, no SR(Q), pode se escrever de forma geral como:

$${}^Q \mathbf{M}_{\mathcal{Q}/\mathcal{Q}} = \begin{bmatrix} M_{\mathcal{Q}/\mathcal{Q}}^{(x')} \\ M_{\mathcal{Q}/\mathcal{Q}}^{(y')} \\ M_{\mathcal{Q}/\mathcal{Q}}^{(z')} \end{bmatrix} \quad (3.65)$$

O atrito viscoso também está presente no mancal que une o quadro interno e o rotor. Os momentos oriundos do rotor sobre o quadro interno no SR(R):

$${}^R \mathbf{M}_{\mathcal{S}/\mathcal{R}} = \begin{bmatrix} M_{\mathcal{S}/\mathcal{R}}^{(x'')} \\ M_{\mathcal{S}/\mathcal{R}}^{(y'')} \\ C_{RS} \dot{\gamma} \end{bmatrix} \quad (3.66)$$

O momento no quadro interno será calculado utilizando a lei de Euler. O ponto de referência indicado por R indica o centro de massa do quadro interno, que, ao desconsiderar imprecisões de fabricação, coincide com o centro de massa do rotor (S).

$${}^R \mathbf{M}_R = \frac{d \mathbf{H}_R}{d t} = {}^R \dot{\mathbf{H}}_R + \tilde{\boldsymbol{\omega}}_R \mathbf{H}_R \quad (3.67)$$

A matriz de inércia do quadro interno foi apresentada na Eq.(3.43), e depois foi simplificada assumindo uma geometria de um anel delgado. Nestas condições a quantidade de movimento angular do quadro interno, Eq.(3.53), se escreve como:

$${}^R \mathbf{H}_R = \begin{bmatrix} I_p \dot{\alpha} \cos \beta \\ I_d \dot{\beta} \\ I_d \dot{\alpha} \sin \beta \end{bmatrix} \quad (3.68)$$

A matriz associada til (item 1.3 do Capítulo 1) à velocidade angular do quadro interno, mostrada na Eq.(3.44), é escrita como:

$$\tilde{\omega}_R = \begin{bmatrix} 0 & -\dot{\alpha} \sin \beta & \dot{\beta} \\ \dot{\alpha} \sin \beta & 0 & -\dot{\alpha} \cos \beta \\ -\dot{\beta} & \dot{\alpha} \cos \beta & 0 \end{bmatrix} \quad (3.69)$$

E, para completar a Eq.(3.67), deriva-se o vetor quantidade de movimento angular da Eq.(3.68), resultando:

$${}^R \dot{\mathbf{H}}_R = \begin{bmatrix} I_p (\ddot{\alpha} \cos \beta - \dot{\alpha} \dot{\beta} \sin \beta) \\ I_d \ddot{\beta} \\ I_d (\ddot{\alpha} \sin \beta + \dot{\alpha} \dot{\beta} \cos \beta) \end{bmatrix} \quad (3.70)$$

Substituindo as três últimas equações anteriores na Eq.(3.67) temos:

$${}^R \mathbf{M}_R = \begin{bmatrix} I_p (\ddot{\alpha} \cos \beta - \dot{\alpha} \dot{\beta} \sin \beta) \\ I_d \ddot{\beta} + (I_p - I_d) \dot{\alpha}^2 \sin \beta \cos \beta \\ I_d (\ddot{\alpha} \sin \beta + \dot{\alpha} \dot{\beta} \cos \beta) - (I_p - I_d) \dot{\alpha} \dot{\beta} \cos \beta \end{bmatrix} \quad (3.71)$$

Outro caminho para chegar ao momento no quadro interno, é pela soma dos momentos que exercem o quadro externo e o rotor.

$${}^R \mathbf{M}_R = {}^R \mathbf{M}_{Q/R} + {}^R \mathbf{M}_{S/R} \quad (3.72)$$

Calcula-se o momento do quadro externo sobre o quadro interno no SR(Q), transformando a Eq.(3.64) do SR (R) para (Q):

$${}^Q \mathbf{M}_{Q/R} = \begin{bmatrix} M_{Q/R}^{(x)} \\ M_{Q/R}^{(y')} \\ M_{Q/R}^{(z')} \end{bmatrix} = {}^Q \mathbf{T}^R {}^R \mathbf{M}_{Q/R} = \begin{bmatrix} M_{Q/R}^{(x'')} \cos \beta + M_{Q/R}^{(z'')} \sin \beta \\ -C_{QR} \dot{\beta} \\ M_{Q/R}^{(z'')} \cos \beta - M_{Q/R}^{(x'')} \sin \beta \end{bmatrix} \quad (3.73)$$

Os momentos de ação e reação entre o quadro interno e externo são:

$${}^Q \mathbf{M}_{Q/R} = -{}^Q \mathbf{M}_{R/Q} \quad (3.74)$$

Igualando a componente no eixo x da Eq.(3.74) com a Eq.(3.63) obtida da análise do quadro externo:

$$M_{\mathcal{O}/R}^{(x)} = -M_{R/Q}^{(x)} = -I_x \ddot{\alpha} - C_{FQ} \dot{\alpha} \quad (3.75)$$

Na Eq.(3.72) substitui-se as equações Eq.(3.71) e Eq.(3.66):

$$\begin{bmatrix} I_p (\ddot{\alpha} \cos \beta - \dot{\alpha} \dot{\beta} \sin \beta) \\ I_d \ddot{\beta} + (I_p - I_d) \dot{\alpha}^2 \sin \beta \cos \beta \\ I_d (\ddot{\alpha} \sin \beta + \dot{\alpha} \dot{\beta} \cos \beta) - (I_p - I_d) \dot{\alpha} \dot{\beta} \cos \beta \end{bmatrix} = {}^R \mathbf{M}_{\mathcal{O}/R} + \begin{bmatrix} M_{S/R}^{(x')} \\ M_{S/R}^{(y')} \\ C_{RS} \dot{\gamma} \end{bmatrix} \quad (3.76)$$

Então o momento do quadro externo sobre o quadro interno no SR(R):

$${}^R \mathbf{M}_{\mathcal{O}/R} = \begin{bmatrix} I_p (\ddot{\alpha} \cos \beta - \dot{\alpha} \dot{\beta} \sin \beta) - M_{S/R}^{(x')} \\ I_d \ddot{\beta} + (I_p - I_d) \dot{\alpha}^2 \sin \beta \cos \beta - M_{S/R}^{(y')} \\ I_d (\ddot{\alpha} \sin \beta + \dot{\alpha} \dot{\beta} \cos \beta) - (I_p - I_d) \dot{\alpha} \dot{\beta} \cos \beta - C_{RS} \dot{\gamma} \end{bmatrix} \quad (3.77)$$

Passando o momento anterior ao SR(Q):

$${}^Q \mathbf{M}_{\mathcal{O}/R} = {}^Q \mathbf{T}^R {}^R \mathbf{M}_{\mathcal{O}/R} = \begin{bmatrix} \cos \beta & 0 & \sin \beta \\ 0 & 1 & 0 \\ -\sin \beta & 0 & \cos \beta \end{bmatrix} {}^R \mathbf{M}_{\mathcal{O}/R} \quad (3.78)$$

Considerando apenas a componente em x do momento ${}^Q M_{\mathcal{O}/R}$ no SR(Q),

Eq.(3.78), obtém-se o mesmo resultado que a Eq.(3.75),

$$\begin{aligned} -I_x \ddot{\alpha} - C_{FQ} \dot{\alpha} &= (I_p (\ddot{\alpha} \cos \beta - \dot{\alpha} \dot{\beta} \sin \beta) - M_{S/R}^{(x')}) \cos \beta \\ &+ (I_d (\ddot{\alpha} \sin \beta + \dot{\alpha} \dot{\beta} \cos \beta) - (I_p - I_d) \dot{\alpha} \dot{\beta} \cos \beta - C_{RS} \dot{\gamma}) \sin \beta \end{aligned} \quad (3.79)$$

Arranjando a equação anterior tem-se:

$$\begin{aligned} M_{S/R}^{(x')} \cos \beta &= \ddot{\alpha} (I_x + I_p \cos^2 \beta + I_d \sin^2 \beta) + C_{AF} \dot{\alpha} - C_{BC} \dot{\gamma} \sin \beta \\ &- 2(I_p - I_d) \dot{\alpha} \dot{\beta} \cos \beta \sin \beta \end{aligned} \quad (3.80)$$

Considerando o momento do quadro externo sobre o quadro interno no SR(R), Eq.(3.77), a componente no eixo y' deve ser igual à componente da Eq.(3.64), eliminando com isso mais uma incógnita.

$$I_d \ddot{\beta} + (I_p - I_d) \dot{\alpha}^2 \sin \beta \cos \beta - M_{S/R}^{(y')} = -C_{QR} \dot{\beta} \quad (3.81)$$

Arranjando a equação anterior:

$$M_{S/R}^{(y')} = I_d \ddot{\beta} + (I_p - I_d) \dot{\alpha}^2 \sin \beta \cos \beta + C_{QR} \dot{\beta} \quad (3.82)$$

O último corpo analisado é o rotor, SR (S). A velocidade do rotor no SR (R) foi apresentada na Eq.(3.10), e a matriz de inércia na Eq.(3.1). O momento do quadro interno sobre o rotor, pelo efeito de ação e reação na Eq.(3.66), pode ser calculado também pela lei de Euler:

$${}^R \mathbf{M}_{R/S} = -{}^R \mathbf{M}_{S/R} = - \begin{bmatrix} M_{S/R}^{(x'')} \\ M_{S/R}^{(y'')} \\ C_{RS} \dot{\gamma} \end{bmatrix} = {}^R \dot{\mathbf{H}}_{R/S} + \tilde{\boldsymbol{\omega}}_R {}^R \mathbf{H}_{R/S} \quad (3.83)$$

A quantidade de movimento angular ${}^R \mathbf{H}_{R/S}$ é a mesma da Eq.(3.52), e pode ser simplificada como:

$${}^R \mathbf{H}_{R/S} = I_3 \begin{bmatrix} A \dot{\alpha} \cos \beta + B \dot{\beta} \\ B \dot{\alpha} \cos \beta + C \dot{\beta} \\ \dot{\alpha} \sin \beta + \dot{\gamma} \end{bmatrix} = \begin{bmatrix} h_x \\ h_y \\ h_z \end{bmatrix} \quad (3.84)$$

A matriz associada til da velocidade angular foi apresentada na Eq.(3.69). O produto da matriz associada pela quantidade de movimento angular simplificada da Eq.(3.84), dá como resultado:

$$\tilde{\boldsymbol{\omega}}_R {}^R \mathbf{H}_{R/S} = \begin{bmatrix} -h_y \dot{\alpha} \sin \beta + h_z \dot{\beta} \\ h_x \dot{\alpha} \sin \beta - h_z \dot{\alpha} \cos \beta \\ -h_x \dot{\beta} + h_y \dot{\alpha} \cos \beta \end{bmatrix} \quad (3.85)$$

Deriva-se a forma simplificada do vetor quantidade de movimento angular, Eq.(3.84), e junto com a Eq.(3.85), substitui-se na Eq.(3.83) para obter o momento do quadro interno sobre o rotor.

$$-1 \begin{bmatrix} M_{S/R}^{(x'')} \\ M_{S/R}^{(y'')} \\ C_{RS} \dot{\gamma} \end{bmatrix} = \begin{bmatrix} \dot{h}_x - h_y \dot{\alpha} \sin \beta + h_z \dot{\beta} \\ \dot{h}_y + h_x \dot{\alpha} \sin \beta - h_z \dot{\alpha} \cos \beta \\ \dot{h}_z - h_x \dot{\beta} + h_y \dot{\alpha} \cos \beta \end{bmatrix} \quad (3.86)$$

Estas são as incógnitas que faltavam nas equações: Eq.(3.80) e Eq.(3.82). Quando se substitui as incógnitas na Eq.(3.86) obtemos as equações que descrevem o movimento do sistema.

Ao analisar a primeira linha da Eq.(3.86), precisa-se multiplicar pelo termo $\cos \beta$ para que a incógnita fique igual à da Eq.(3.80):

$$M_{S/R}^{(x'')} \cos \beta + (\dot{h}_x - h_y \dot{\alpha} \sin \beta + h_z \dot{\beta}) \cos \beta = 0 \quad (3.87)$$

As outras linhas da Eq.(3.86) são:

$$M_{S/R}^{(y'')} + \dot{h}_y + h_x \dot{\alpha} \sin \beta - h_z \dot{\alpha} \cos \beta = 0 \quad (3.88)$$

$$C_{RS} \dot{\gamma} + \dot{h}_z - h_x \dot{\beta} + h_y \dot{\alpha} \cos \beta = 0 \quad (3.89)$$

Agora, faltam apenas as derivadas de h_x , h_y e h_z , que são obtidas derivando a Eq.(3.84) o que inclui os parâmetros apresentados nas equações Eq.(3.2), Eq.(3.3) e Eq.(3.4). Considerando algumas propriedades dos parâmetros A, B, C e D, com: $\dot{A} = -2 \dot{B} \dot{\gamma}$, $\dot{C} = 2 \dot{B} \dot{\gamma}$, $\dot{B} = \dot{D} \dot{\gamma}$, as derivadas são:

$$\dot{h}_x = I_3 \left(-2 B \dot{\gamma} \cos \beta \dot{\alpha} - A \sin \beta \dot{\alpha} \dot{\beta} + A \cos \beta \ddot{\alpha} + D \dot{\gamma} \dot{\beta} + B \ddot{\beta} \right) \quad (3.90)$$

$$\dot{h}_y = I_3 \left(D \dot{\gamma} \cos \beta \dot{\alpha} - B \sin \beta \dot{\alpha} \dot{\beta} + B \cos \beta \ddot{\alpha} + 2 B \dot{\gamma} \dot{\beta} + C \ddot{\beta} \right) \quad (3.91)$$

$$\dot{h}_z = I_3 \left(\sin \beta \ddot{\alpha} + \dot{\alpha} \dot{\beta} \cos \beta + \dot{\gamma} \right) \quad (3.92)$$

Substituindo todas as incógnitas que apresentam as equações: Eq.(3.80), Eq.(3.82), Eq.(3.90), Eq.(3.91) e Eq.(3.92) nas equações finais: Eq.(3.87), Eq.(3.88) e Eq.(3.89), obtêm-se as equações de movimento:

$$\begin{aligned} & \left(I_3 A \cos^2 \beta + I_x + I_p \cos^2 \beta + I_d \sin^2 \beta \right) \ddot{\alpha} + I_3 B \ddot{\beta} \cos \beta - 2 I_3 B \dot{\alpha} \dot{\gamma} \cos^2 \beta \\ & - \left((A + C - 1) I_3 + 2 (I_p - I_d) \right) \dot{\alpha} \dot{\beta} \cos \beta \sin \beta + (D + 1) I_3 \dot{\beta} \dot{\gamma} \cos \beta \\ & - I_3 B (\dot{\alpha}')^2 \sin \beta \cos^2 \beta + C_{FQ} \dot{\alpha} - C_{RS} \dot{\gamma} = 0 \end{aligned} \quad (3.93)$$

$$\begin{aligned} & \left(I_3 C + I_d \right) \ddot{\beta} + I_3 B \ddot{\alpha} \cos \beta + \left(I_3 (A + 1) + I_p - I_d \right) \sin \beta \cos \beta (\dot{\alpha}')^2 + 2 I_3 b \dot{\gamma} \dot{\beta} \\ & + I_3 (D - 1) \dot{\alpha} \dot{\gamma} \cos \beta + C_{QR} \dot{\beta} = 0 \end{aligned} \quad (3.94)$$

$$I_3 \ddot{\gamma} + I_3 \ddot{\alpha} \sin \beta + I_3 (1 - D) \dot{\alpha} \dot{\beta} \cos \beta + I_3 B \cos^2 \beta (\dot{\alpha}')^2 - I_3 B (\dot{\beta}')^2 + C_{RS} \dot{\gamma} = 0 \quad (3.95)$$

Estas equações devem ser normalizadas, com o mesmo processo definido anteriormente, as derivadas se alteram de acordo com a Eq.(3.12), e as inércias adimensionais com as Eq.(3.5) e Eq.(3.50). Um novo parâmetro resulta do processo de normalização para o coeficiente de atrito viscoso, em sua forma normalizada se escreve:

$$k_{FQ} = \frac{C_{FQ}}{v I_3}, \quad k_{QR} = \frac{C_{QR}}{v I_3}, \quad k_{RS} = \frac{C_{RS}}{v I_3} \quad (3.96)$$

Finalmente, as equações do movimento que descrevem a dinâmica do Giroscópio, na sua forma adimensional, são:

$$\begin{aligned}
\alpha'' = & \frac{1}{(A\mu_d + \mu_1 \mu_2) \cos^2 \beta + (\mu_x + \mu_d \sin^2 \beta + \mu_p \cos^2 \beta)(C + \mu_d)} \{ (\mu_1 \\
& + \mu_2 + 2\mu_d - 1) B \cos^2 \beta \gamma' \alpha' + (\mu_1 + \mu_2 + \mu_p - 1) B \cos^2 \beta \sin \beta (\alpha')^2 \\
& + (C + \mu_d) (\mu_1 + \mu_2 + 2\mu_p - 2\mu_d - 1) \cos \beta \sin \beta \alpha' \beta' \\
& + ((\mu_1 + \mu_2 - 1)C - 2\mu_1 \mu_2 - (d + 1)\mu_d) \cos \beta \gamma' \beta' \\
& + (\mu_d + C) \sin \beta k_{RS} \gamma' + B \cos \beta k_{QR} \beta' - (\mu_d + C) k_{FQ} \alpha' \} \quad (3.97)
\end{aligned}$$

$$\begin{aligned}
\beta'' = & \frac{1}{(A\mu_d + \mu_1 \mu_2) \cos^2 \beta + (\mu_x + \mu_d \sin^2 \beta + \mu_p \cos^2 \beta)(C + \mu_d)} \{ (\mu_1 \\
& + \mu_2 + 2\mu_p - 2\mu_d - 1) B \sin \beta \cos^2 \beta \alpha' \beta' + ((A(\mu_1 + \mu_2 - 1) \\
& - 2\mu_1 \mu_2) \cos^2 \beta + (\mu_x + \mu_d \sin^2 \beta + \mu_p \cos^2 \beta)(D - 1)) \cos \beta \gamma' \alpha' \\
& + ((A(\mu_1 + \mu_2 + \mu_p - \mu_d - 1) - \mu_1 \mu_2) \cos^2 \beta + (A + \mu_p - \mu_d - 1)(\mu_x \\
& + \mu_p \cos^2 \beta + \mu_d \sin^2 \beta)) \cos \beta \sin \beta (\alpha')^2 + ((\mu_1 + \mu_2 - 1) \cos^2 \beta + 2\mu_x \\
& + \mu_d \sin^2 \beta + \mu_p \cos^2 \beta) B \gamma' \beta' + B \cos \beta \sin \beta k_{RS} \gamma' \\
& + (A \cos^2 \beta + \mu_x + \mu_d \sin^2 \beta + \mu_p \cos^2 \beta) k_{QR} \beta' - B \cos \beta k_{FQ} \alpha' \} \quad (3.98)
\end{aligned}$$

$$\begin{aligned}
\gamma'' = & \frac{1}{(A\mu_d + \mu_1 \mu_2) \cos^2 \beta + (\mu_x + \mu_d \sin^2 \beta + \mu_p \cos^2 \beta)(C + \mu_d)} \{ ((\mu_d \\
& + C)(-\mu_x - \mu_d \sin^2 \beta - \mu_p \cos^2 \beta) + (-\mu_1 \mu_2 - A \mu_p) \cos^2 \beta) B (\beta')^2 \\
& + ((C + \mu_d) (\mu_1 + \mu_2 + 2\mu_p - 2\mu_d - 1) \sin^2 \beta + (A \mu_d + \mu_1 \mu_2)(1 - D) \cos^2 \beta \\
& + (\mu_x + \mu_d \sin^2 \beta + \mu_p \cos^2 \beta)(1 - D)(C + \mu_d)) \cos \beta \alpha' \beta' \\
& + ((A \mu_d + \mu_1 \mu_2) \cos^2 \beta + (\mu_1 + \mu_2 + \mu_p - 1) \sin^2 \beta + (\mu_d \sin^2 \beta + \mu_p \cos^2 \beta \\
& + \mu_x)(C + \mu_d)) B \cos^2 \beta (\alpha')^2 + (\mu_1 + \mu_2 + 2\mu_d - 1) B \sin \beta \cos^2 \beta \gamma' \alpha' \\
& + ((\mu_1 + \mu_2 - 1)C - 2\mu_1 \mu_2 - (D + 1)\mu_d) \sin \beta \cos \beta \gamma' \beta' + ((C - \mu_d)(\mu_x \\
& + \mu_p \cos^2 \beta + (1 + \mu_d) \sin^2 \beta) + (A \mu_d + \mu_1 \mu_2) \cos^2 \beta) k_{RS} \gamma' \\
& + B \cos \beta \sin \beta k_{QR} \beta' - (C + \mu_d) \sin \beta k_{FQ} \alpha' \} \quad (3.99)
\end{aligned}$$

A expressão matemática para a energia cinética adimensional do Giroscópio é a mesma escrita na Eq.(3.51). A análise da condição inicial é a mesma que no caso do sistema conservativo, porque o sistema é o mesmo e porque no processo de impacto o atrito não está envolvido. Então as velocidades iniciais em função dos ângulos iniciais são as expressões matemáticas: Eq.(3.58), Eq.(3.59) e Eq.(3.60).

3.4. Trajetória do eixo do rotor

Uma forma elegante de observar o movimento consiste em acompanhar a trajetória de um ponto do eixo do rotor (eixo de simetria (e_s) porém não de axissimetria), vetor de coordenadas (x,y,z) . Antes do impacto o eixo permanece fixo no espaço e por consequência as coordenadas (x,y,z) ficam constantes, depois do impacto o eixo passa a apresentar movimento de nutação e precessão. Convenientemente trabalha-se com um vetor unitário, cuja trajetória espacial é sobre uma esfera de radio unitário.

$$x = \sin \beta \quad y = -\cos \beta \sin \alpha \quad z = \cos \beta \cos \alpha \quad (3.100)$$

Estas coordenadas ajudam muito na visualização do movimento, estando escritas no SR(F). No instante inicial, antes do impacto, o valor é: $\mathbf{r}(0,0,1)$. Finalmente, com isto se podem definir claramente os dois lados do hemisfério, um quando $z>0$ e o outro quando $z<0$. Esta distinção será muito importante quando consideramos a estabilidade do sistema e procurarmos definir as bacias de atração. Um movimento instável será causador de passeio deste vetor pelos dois hemisférios.